

逐次近似法에 의한 船用 디이젤 機關軸系 비틀림振動計算의 電算 프로그램 開發에 關한 研究

金 義 珊 · 全 孝 重

Developing a Computer Program for the Torsional Vibration Analysis of the Marine Diesel Engine Shafting

Uekan Kim · Hyojung Jeon

.....<目 次>.....	
1. 머리말	5. 振動에 依한 附加應力의 計算
2. 危險振動數의 計算	5.1 弯曲軸의 先端振幅
2.1 推進器의 等價質量	5.2 振動附加應力 計算
2.2 그랑크軸의 等價軸長	6. 비틀림振動 電算프로그램의 FLOW CHART
3. 起振에너지의 計算	7. 實際軸의 計算 및 實測値와의 比較
3.1 가스壓力 토오크	7.1 機關要目
3.2 惯性力 토오크	7.2 推進軸系에 對한 計算結果例
4. 減衰에너지의 計算	7.3 計算値와 實測値와의 比較
4.1 機關減衰에너지	8. 結 論
4.2 히스테리시스 減衰에너지	參考文献
4.3 推進器 減衰에너지	

Abstract

In the earlier days, when the diesel engine was used for ship propulsion, its shaft had often been broken by uncertain causes. Bauer suggested, for the first time in 1900, that it resulted from the torsional vibration of the shaft system. From 1901 to 1902, Gumbel and Frahm found out that shaft failures were caused by the resonance of the shaft system in critical speed.

Since that time, valuable theories, empirical formulae and methods of vibration analysis were introduced by many investigators such as Geiger, Holzer, Lewis, Carter, Porter, Constant, Timoshenko, Dorey, Den Hartog, Tuplin, Ker Wilson, Bradbury etc.

But, as the calculation of the damping energy involves very complicated and uncertain

factors, the estimated amplitude of the torsional vibration is incorrect and uncertain.

Besides, as high-powered engines have been installed on large vessels or special vessels and exciting force has been increased, new problems of the torsional vibration have continuously occurred.

Although we can calculate the approximate natural frequencies or estimate their amplitude and additional stress in the design stage, through the above mentioned studies, the results of the calculations are unsatisfactory, and so much time is needed to carry out the calculation by hand.

The authors have developed a computer program to calculate its natural frequencies, the amplitudes and additional stresses of the torsional vibration in the marine diesel engine shafting.

In developing the computer program, the authors have paid the special attention to the calculation of the damping energy.

To verify the reliability of the developed computer program, the torsional vibration of several propulsion shaftings which are driven by the diesel engine has been analyzed.

The results calculted by the authors' computer program show good agreements with those of the actual measurements and are better than the results of engine maker's calculation.

1. 머리말

니이겔機關이 船用主機關으로 使用되던 初期에는 不分明한 原因으로 軸이 切損되는 事故가 때때로 發生하였고 이것이 軸系의 비틀림振動에 의한 것임을 1900年, Bauer¹⁾라는 사람이 처음으로 指摘하였다. 1901~1902年에는 Gumbel²⁾과 Frahm³⁾에 의하여 原因이 不明했던 많은 軸系切損事故가 究明되었고 그 結果 이것은 소위 危險速度에 있어서의 軸系共振現象에 起因함이 밝혀졌다.

또한 船用機關으로서 往復動內燃機關이 늘어남에 따라, 軸系 비틀림振動問題는 그 重要性을 더하게 되어 Geiger, Holzer, Lewis, Carter, Porter, Constant, Timoshenko, Dorey, Den Hartog, Tupulin, Ker Wilson, Bradbury 등에 依한 貴重한 理論과 經驗式 및 實測值와 解析方法이 發表되었고 이러한 研究結果에 依하여 오늘날에 있어서는 設計段階에서 正確한 固有振動數 計算이 可能하게 되었다. 그러나, 振動振幅의 推定은 減衰의 內容이 매우 複雜하고 不確實한 要素를 많이 内包하고 있기때문에 아직 不完全한 狀態로서 研究가 繼續되고 있으며, 또한 大形船舶과 特殊船舶에 高出力 機關을 搭載하기 始作한 後로 起振力이 크게되고 그로 因한 새로운 비틀림振動 問題들이 繼續 發生하고 있어 비틀림振動에 의한 障害는 機關自體의 特性 때문에 완전히 解決하기 어려운 課題로 남아있다.

機關을 軸과 推進器에 結合하였을 境遇, 使用回轉數 範圍内에 共振point이 存在하는가를 檢討하고 共振point이 있을때 그로 因한 振動振幅과 振動附加 應力を 推定하여 危險程度를 把握하고 推定한 값이 規定值보다 를 境遇에는 設計段階에서 軸系切損危險으로부터 回避하는 方法을 求할 수 있다.

이러한 計算을 筆算으로 행하는데는 많은 時間과 努力を 必要로 한다. 특히 共振振幅을 推定하는 데는 몇 가지 方法이 지금까지 紹介되고 있으나 減衰力 計算에 있어 많은 어려움이 있기 때문에 略算法이나 近似解法이 不可避한 實情이다.

本 論文에서는 固有振動數를 計算하고 여려學者들의 減衰에너지 理論式이나 經驗式을 土台로 하

逐次近似法에 의한 船用마이셀機關軸系 비틀림振動計算의 電算프로그램 開發에 關한 研究

여 設計段階에서 振動振幅 및 振動附加應力を 求하는 電算프로그램을 開發하고 開發된 電算프로그램에 의하여 얻어진 結果, 實測值 및 各 機關製作會社의 計算結果 等을 相互比較하여 새로이 開發된 電算프로그램의 妥當性을 檢討하고자 한다.

2. 危險振動數의 計算

船用機關軸系는 매우複雜한 振動系를 形成하므로 直接 振動計算을 行하는 것은 매우 困難하다. 따라서 機關軸系 및 軸系에 附着된 質量과 軸長을 力學的으로 等價인 等價質量과 等價軸長으로 置換하고 Holzer⁴⁾의 逐次近似法에 의해 固有振動數를 計算하여 各 次數로 나누어 주면 各 次數에 대한 危險振動數가 된다. 이 計算에서 等價系로의 置換에 있어 問題가 되는 推進器 等價質量과 크랭크軸의 等價軸長은 다음과 같이 計算되어 餘他의 往復動等價質量에 대하여서는 從來의 方法을 그대로 利用한다.

2.1 推進器의 等價質量

推進器 等價質量의 計算은 設計段階에서는 實績을 基礎로 한 그래프 또는 近似式에 의하여, 推進器의 要目이 決定되고 圖面이 完成되었을 段階에서는 區分求積에 依한 圖式解法으로 計算할 수 있고 또한 機關의 最大出力에 대한 推進器의 무게를 計算하여 等價質量을 計算하기도 한다. 推進器 製作後에는 實測에 의하여 正確히 等價質量을 計算할 수 있다. 그리고 推進器의 附加水를 考慮하여 推進器 等價質量의 1.25倍를 最終等價質量으로 취하는 것이 보통의 方法이다.

2.2 크랭크軸의 等價軸長

크랭크軸은 그 모양이複雜하기 때문에 剛性係數를 理論적으로 嚴密하게 구하는 것은 困難하며 보통 經驗이나 實驗結果를 加味한 半理論式이 利用된다. 經驗式에는 Carter⁵⁾, Timoshenko⁶⁾, BICERA⁷⁾, Ker Wilson⁸⁾, Geiger⁹⁾, Seelmann¹⁰⁾, Tuplin¹¹⁾, Heldt¹²⁾, Jackson¹³⁾, Norman-Stinson¹⁴⁾, Schlaefke¹⁵⁾, Zimanenko¹⁶⁾, Constant¹⁷⁾ 等의 式이 있고 半理論的으로 計算하는 方法에는 影響係數에 의한 方法¹⁸⁾과 Timoshenko⁶⁾의 式이 利用되고 있다.

3. 起振에너지의 計算

크랭크軸系에 비틀림振動을 誘起시키는 原因이 되는 外部도오크는 실린더내의 가스壓力, 피스는 및 連接棒 往復質量의 慣性에 의한 도오크가 있다. 이를의 強制도오크는 週期函數이므로 Fourier 級數로 展開하면 다음과 같다.

3.1 가스壓力 도오크

$$Q = Q_0 + \sum (A_i \sin i\alpha + B_i \cos i\alpha) = Q_0 + \sum Q_i \cos(i\alpha + \rho_i) \quad (1)$$

2行程사이클 機關에서 (1)式은

$$Q = Q_0 + Q_1 \cos(\alpha + \rho_1) + Q_2 \cos(2\alpha + \rho_2) + \dots + Q_n \cos(n\alpha + \rho_n) \quad (2)$$

4行程사이클 機關에 대해서는

$$Q = Q_0 + Q_{\frac{1}{2}} \cos\left(\frac{\alpha}{2} + \rho_{\frac{1}{2}}\right) + Q_1 \cos(\alpha + \rho_1) + Q_{\frac{3}{2}} \cos\left(\frac{3}{2}\alpha + \rho_{\frac{3}{2}}\right) + \dots \quad (3)$$

여기서

 Q : 가스壓力에 의한 토오크 Q_0 : 가스壓力에 의한 평균토오크 ($= \frac{1}{2\pi} \int_0^{2\pi} Q d\alpha$) i : 次數 Q_i : i 次 調和成分의 振幅 ($= \sqrt{A_i^2 + B_i^2}$)

$$A_i = \frac{1}{\pi} \int_0^{2\pi} Q \cos i\alpha d\alpha$$

$$B_i = \frac{1}{\pi} \int_0^{2\pi} Q \sin i\alpha d\alpha$$

 α : 크랭크角 ρ_i : 위상角

調和成分 各項의 係數 Q_i 는 가스壓力 指壓線圖로 부터 만든 토오크線圖를 調和分析함으로써 구할수 있다. 實際에 있어서는 토오크 線圖를 調和 解析하여 실린더面積 1cm^2 , 크랭크암의 길이 1cm 에 대하여 表示한 調和成分曲線을 利用하고 있다. 지금 이 값을 C_i 라 하면

$$Q_i = C_i \frac{\pi}{4} D^2 R \quad (\text{kg}\cdot\text{cm}) \quad (4)$$

 D : 실린더 直徑 R : 크랭크半徑

3.2 慣性力 토오크

파스톤 및 連接棒 往復質量등의 惯性力에 依한 토오크 Q' 는

$$\begin{aligned} Q' &= -m_a \omega^2 r^2 (\cos \alpha + \lambda \cos 2\alpha) (\sin \alpha + \frac{\lambda}{2} \sin 2\alpha) \\ &= m_a \omega^2 r^2 (-\frac{\lambda}{4} \sin \alpha - \frac{1}{2} \sin 2\alpha - \frac{3\lambda}{4} \sin 3\alpha) \end{aligned} \quad (5)$$

 m_a : 往復質量 r : 크랭크 半徑 λ : $\frac{r}{l}$ (l : 連接棒의 길이) ω : 크랭크의 回轉角速度 ($\alpha = \omega t$)

(5)式에서 $\lambda = \frac{1}{4}$ 이므로 4次以後는 매우 작은값이 된다. 또한 惯性力토오크는 ω^2 에 比例하므로 高速機關 以外에서는 거의 問題가 되지 않는다. 보통 1, 2, 3次까지 考慮하여 가스壓力 調和成分과 合成한다.

以上의 高調波토오크가 軸을 비트는 起振에너지로서 作用하는 單실린더機關을 생각한다.

$\theta = \theta_0 \sin \omega t$ 의 調和振動을 하고 있는 軸에 高調波토오크 $q_i = \frac{\pi}{4} D^2 R C_i \sin(\omega t + \phi) = Q_i \times \sin(\omega t + \phi)$ 가 作用할 때 軸에 주는 1사이클當의 일 W_I 는

$$W_I = \int_0^{\frac{2\pi}{\omega}} q_i \frac{d\theta}{dt} dt = \int_0^{\frac{2\pi}{\omega}} Q_i \sin(\omega t + \phi) \cdot \omega \theta_0 \cos \omega t dt = \pi Q_i \theta_0 \sin \phi \quad (6)$$

(6)式을 多실린더機關에 適用하면 각 실린더는 크랭크配置가 다르므로 각 실린더일의 뺄터合을 취하여야 한다. 즉

$$\begin{aligned} \pi Q_1 \theta_1 \sin \phi_1 + \pi Q_2 \theta_2 \sin \phi_2 + \pi Q_3 \theta_3 \sin \phi_3 + \dots + \pi Q_n \theta_n \sin \phi_n &= \pi Q_1 (\theta_1 \sin \phi_1 + \\ \theta_2 \sin \phi_2 + \theta_3 \sin \phi_3 + \dots + \theta_n \sin \phi_n) \end{aligned} \quad (7)$$

($Q_1=Q_2=Q_3=\dots=Q_n$: 각 실린더의 n 次 高調波振動의 振幅)

振動振幅의 합은 $\theta_1+\theta_2+\theta_3+\dots+\theta_n=\sum\theta_i$ 이 되면 $\pi Q_i \sum\theta_i \sin\phi$ 로 되고, 周期時間 $t_p^2 = \frac{\pi}{2}$ 이므로 이 때의 超振에너지는 $W_t = \pi Q_i \sum\theta_i$ 로 된다.

4. 減衰에너지의 計算

크랭크軸系의 振動振幅을 算定하는 境遇 이하의 減衰作用을 正確히 計算하는 것이 重要한데 各種 減衰是 進量의 也是 把握하는 것은 不可能하고 本論文에서는 減衰作用을 機關減衰에너지(Engine damping energy), 히스테리시스減衰에너지(Hysteresis damping energy), 推進器減衰에너지(Propeller damping energy)로 나누어서 計算하였다.

4.1 機關減衰에너지

減衰係數를 C 라 하면 機關減衰에 의하여 1사이클中에 消費되는 減衰에너지 W_E 는 다음과 같이 計算된다.

$\theta=\theta_0 \sin\omega t$ 의 調和振動을 하고 있는 軸系에 $C \frac{d\theta}{dt}$ 의 減衰도으가 作用할때 每 사이클當의 減衰인 W_E 는

$$W_E = \int C \cdot \frac{d\theta}{dt} d\theta = \int C \frac{d\theta}{dt} \cdot \frac{d\theta}{dt} dt = C \theta_0^2 \omega^2 \int_0^{\frac{2\pi}{\omega}} \cos^2 \omega t dt = \pi C \theta_0^2 \omega \quad (8)$$

(8)式을 多실린더 機關에 適用하여 第1실린더軸의 θ_1 rad 비틀려 진다고 하고 실린더間의 比振幅을 a_i 이 라하면

$$\begin{aligned} W_E &= \pi C_1 \omega \theta_1^2 + \pi C_2 \omega \theta_2^2 + \pi C_3 \omega \theta_3^2 + \dots + \pi C_n \omega \theta_n^2 = \pi C_1 \omega \theta_1^2 + \pi C_2 \omega \theta_1^2 a_2^2 + \\ &\quad \pi C_3 \omega \theta_1^2 a_3^2 + \dots + \pi C_n \omega \theta_1^2 a_n^2 = \pi \omega \theta_1^2 \sum_{i=1}^n C_i a_i^2 \end{aligned}$$

각 실린더의 減衰係數가 같으면 慣性모멘트를 J_i 라 하면

$$W_E = 2\pi \varepsilon \omega^2 \theta_1^2 \sum_{i=1}^n (J_i a_i^2) (\text{kg} \cdot \text{cm}/\text{cycle}) \quad (9)$$

$$\left(\because \varepsilon = C/C_c = \text{減衰係數/臨界減衰係數} \right)$$

$$C = C_c \varepsilon = 2f \omega \varepsilon$$

으로 되나, ε 의 값으로서 Hansen¹⁹⁾은 0.005~0.015를 주고 있으며 實測에 의하여 0.005~0.02를 알았다는 報告도 있다. 動倍率 ($\frac{1}{2\varepsilon}$)을 利用하는 境遇에 Holzer⁴⁾는 $\frac{1}{2\varepsilon}$ 의 값으로서 25를 주고 있으며 Wydler²⁰⁾는 20, Dorey²¹⁾는 비틀림應力 $\tau=100\text{kg/cm}^2$ 일 때 300, $\tau=200\text{kg/cm}^2$ 일 때 200, Sulzer는 $\tau=100\text{kg/cm}^2$ 일 때 100, $\tau=300\text{kg/cm}^2$ 일 때 58로 주고 있다. 大形 船用 往復動內燃機關에 對하여서는 平均值로서 0.013을 利用하여 良好한 結果를 얻고 있으므로 本論文에서는 減衰係數比 ε 의 值으로 0.013을 取했다.

4.2 히스테리시스 減衰에너지

往復應力 τ 받는 金屬材料는 彈性限界내에 있어서도 嚴密하게 Hook의 法則에 따르지 않으며 應

力과 變位間に 히스테리시스曲線을 그려게 된다. 이 때 每사이클마다 그리는 閉曲線面積은 消費되는 에너지를 나타낸다. 一般的으로 機械材料의 히스테리시스減衰는 다음 式으로 表示된다.

$$D = J(\sigma/\sigma_e)^n \quad (10)$$

D : 사이클마다의 單位 体積當 히스테리시스減衰에 너지 ($\text{kg} \cdot \text{cm}/\text{cm}^3 \text{cycle}$)

J : 材料의 種類와 應力의 크기에 의한 定數

σ_e : 材料의 疲勞強度

σ : 히스테리시스減衰를 計算할 곳의 應力

Dorey²¹⁾의 實驗結果를 (10)式에 代入하여 整理하면

$$D = 1.42 \times 10^{-10} \cdot \sigma^{2.8} (\text{kg} \cdot \text{cm}/\text{cm}^3 \text{ cycle}) \quad (11)$$

으로 되고 Rowett의 實驗結果를 F. M. Lewis²²⁾가 整理한 바에 의하면

$$D = 4.32 \times 10^{-9} \cdot \sigma^{2.8} (\text{kg} \cdot \text{cm}/\text{cm}^3 \cdot \text{cycle}) \quad (12)$$

으로 된다. (12)式은 應力 $550 \text{kg}/\text{cm}^2$ 程度까지는 實驗值와 잘 맞으나 이것을 넘어서면 위의 값보다 크게 된다.

(12)式은 減衰指數가 $n=2.3$ 의 값을 갖기 때문에 振動振幅을 計算하는데 매우 不便하다.

B. J. Lazan²³⁾은 “機械材料와 構造物의 構成要素에 관한 研究”에서 軟鋼材(SAE 1020)의 應力과 減衰力關係를 3個, 또는 2個의 線分에 依하여 近似的으로 表示하고 있는데 3線分의 境遇 高應力($29,000 \text{ psi}$ 以上), 中應力($300 \sim 29,000 \text{ psi}$), 低應力(300 psi 以下)의 3部分으로 나누어 각各 減衰指數 n 로서 $n > 3$, $n = 2 \sim 3$, $n = 2$ 를 取하고 있다. 2線分의 境遇에는 高應力($29,000 \text{ psi}$ 以上), 低應力($29,000 \text{ psi}$ 以下)의 2區劃으로 나누고 低應力帶의 J 값을 크게 取하여 $n = 2$ 로 하고 있다.

L. E. Goodman²⁴⁾은 B. J. Lazan의 研究結果를 利用하여 히스테리시스減衰에너지를 다음과 같이 計算하고 있다.

$$D = 7.773 \times 10^{-9} \cdot \sigma^2 (\text{kg} \cdot \text{cm}/\text{cm}^3 \text{ cycle}) \quad (13)$$

(13)式에 依하여 中實軸의 히스테리시스 減衰에너지를 구하면

$$W_H' = 7.773 \times 10^{-9} \cdot \frac{\pi}{8} \cdot \sigma^2 \cdot d \cdot l (\text{kg} \cdot \text{cm}/\text{cycle}) \quad (14)$$

$$d = D \sqrt{l/L}$$

L : 等價軸長

D : 等價軸直徑

l : 實際軸의 길이

으로 되고 크랭크軸 前端의 振幅 1 rad에 相當하는 軸系의 各 質點間, 또는 軸의 各 斷面區分에 對한 히스테리시스 減衰에너지가 (14)式으로 주어지면 크랭크軸 前端의 任意의 振幅 θ rad에 對한 軸系 全部의 全히스테리시스 減衰에너지 W_H 는

$$W_H = \sum W_H' \theta^{2.8} \text{ 또는 } W_H = \sum W_H' \theta^2 \quad (15)$$

으로 된다. 本論文에서는 L. E. Goodman의 式을 利用하여 計算하였다.

4·3 推進器 減衰에너지

推進器 減衰에너지 W_P 는 다음 式으로 주어진다.

$$W_P = C_P \cdot \pi \cdot \omega \cdot a_P^2 \cdot \theta_1^2 (\text{kg} \cdot \text{cm}/\text{cycle}) \quad (16)$$

C_P : 推進器의 減衰係數

a_P : 推進器에 있어서의 比振幅

θ_1 : 크랭크軸 前端의 振幅(rad)

推進器의 吸收馬力은 回轉數의 3乘에 比例하고 馬力은 回轉數와 토오크의 積에 比例하므로 推進器 토오크는 回轉數의 2乘에 比例하게 되어

$$T = Kn^2 = K' \omega^2 \quad (17)$$

T : 每秒 回轉數 n 에 對한 平均 推進器 토크 ($\text{kg}\cdot\text{cm}$)

ω : $2\pi n$

K, K' : 推進器 固有의 定數

비틀림振動을 同伴하는 境遇 回轉速度의 變化가 급격하고, 또한 推進器 출립이 크기 때문에 回轉數 2乘의 法則에 따르지 않고 보다 를 指數 Z 에 따라 變化하여 T 는

$$T = K_1 n^Z \quad (18)$$

로 된다. 비틀림振動에 對한 推進器 減衰係數는 推進器 瞬間速度에 對한 모오크 變動率로서 주어지므로

$$C_P = \frac{dT}{d\omega} = \frac{1}{2\pi} \frac{dT}{dn} \quad (19)$$

(18)式을 (19)式에 代入하여 整理하면

$$C_P = \frac{1}{2\pi} \frac{d(K_1 n^Z)}{dn} = \frac{Z}{2\pi} \cdot \frac{T}{n} = \frac{60}{2\pi} \cdot Z \cdot \frac{T}{N} = 9.55 \cdot Z \cdot \frac{T}{N} = \alpha \frac{T}{N} \quad (20)$$

N : 推進器의 每分回轉數

係數 α 에 對한 值으로 여러 研究者에 의한 實驗結果에 依하면 Lewis²²⁾와 Taylor²³⁾는 模型推進器 特性을 基礎로 하여 33.5, Den Hartog²⁷⁾와 Dorey²⁸⁾는 28.6, Porter²⁹⁾는 35를 주고 있다. 本論文에서는 係數 α 의 值으로서 33.5를 用了.

以上의 結果를 (16)式에 代入하여 整理하면

$$W_P = 2.356 \times 10^4 \frac{i^2 \cdot P_s \cdot \alpha \cdot a_p^2 \cdot \theta_1^2}{f} \quad | \quad (21)$$

$$= 78.926 \times 10^4 \frac{i^2 \cdot P_s \cdot \alpha \cdot a_p^2 \cdot \theta_1^2}{f} \quad |$$

$$= 2.356 \times 10^4 \frac{i \cdot P_s \cdot \alpha \cdot a_p^2 \cdot \theta_1^2}{N} \quad | \quad (21)$$

$$= 78.926 \times 10^4 \frac{i \cdot P_s \cdot \alpha \cdot a_p^2 \cdot \theta_1^2}{N} \quad |$$

($\text{kg}\cdot\text{cm}/\text{cycle}$)

P_s : N rpm에 있어서의 出力(BHP) N : 推進器의 回轉數(rpm)

i : 危險振動의 次數 f : 軸系의 振動數(cpm)

5. 振動에 依한 附加應力의 計算

5.1 크랭크軸의 先端振幅

一節振動에 있어서 減衰에너지의 大部分은 推進器 減衰에너지로서 85~90%를 차지하고, 히스테 시리스 減衰에너지가 3~5%, 機關 減衰에너지가 7~10%를 차지한다.

二節振動에 있어서는 機關 減衰에너지가 75~80%, 히스테리시스 減衰에너지가 20~25%, 推進器 減衰에너지는 僅少하다. 이와 같은 事實을 基礎로 하여 危險速度에 있어서의 크랭크軸의 先端振幅을 推定하는데는 다음과 같은 方法이 利用되고 있다.

(1) 推進器 減衰를 基礎로 한 推定法

一節振動에 있어서는 推進器의 振幅이 크기 때문에 減衰力으로서 推進器 減衰만을 생각하여 計算하는 境遇, 크랭크軸端의 振動振幅 θ_1 ? $W_t = W_p$ 로 用了.

$$\theta_1 = \frac{Q_i \sum a_i}{C_p \cdot \omega \cdot a_p^2} \quad (\text{rad}) \quad (22)$$

(2) 히스테리시스減衰로부터 誘導되는 經驗式에 依한 推定法

많은 實測 結果를 利用하여 統計的으로 解析하여 보면 二節振動의 境遇 히스테리시스減衰는 全減衰의 대략 1/3內外이다. 따라서 히스테리시스 減衰를 求한 다음, 이것의 約 3倍를 全減衰로 하여 振幅을 구한다. Den Hartog²⁷⁾는 히스테리시스減衰의 4.58倍를 全減衰로 取했다.

(3) 平衡振幅과 動倍率로부터 推定하는 方法

軸系의 全減衰를 機關減衰에 너지의 境遇와 같이 粘性減衰로 計算하면 全減衰에 너지 W_T 는

$$W_T = 2\pi\varepsilon\omega^2\theta_1^2 \sum (J_i a_i^2) \quad (\text{kg}\cdot\text{cm}/\text{cycle}) \quad (23)$$

으로 되고 振動振幅은 $W_I = W_T$ 로 부터

$$\theta_1 = \frac{Q_i \sum a_i}{2\varepsilon\omega^2 \sum (J_i a_i^2)} \quad (\text{rad}) \quad (24)$$

動倍率을 利用하여 振動振幅을 計算하면

$$\theta_{st} = \frac{Q_i \sum a_i}{\omega^2 \sum (J_i a_i^2)} \quad (25)$$

여기서 θ_{st} 는 平衡振幅(Equilibrium amplitude)이라하여 最大起振振幅이 靜的으로 作用하였을 때의 角變位에相當하는 振幅이다. 그러므로 危險速度에 있어서의 크랭크軸 先端振幅 θ_1 은

$$\theta_1 = \frac{1}{2\varepsilon} \cdot \theta_{st}$$

$\frac{1}{2\varepsilon}$ 의 여러 가지 값은 4.1에서 提示한 바 있다.

(4) 에너지法에 依한 推定法

危險速度에 있어서의 振幅을 求하기 위해 에너지法에 依한 推定法을 利用하면

$$W_I = W_E + W_H + W_P \quad (26)$$

(26)式으로부터 크랭크軸의 先端振幅 θ_1 은

$$\theta_1 = \frac{\pi Q_i \sum a_i}{2\pi\varepsilon\omega^2 \sum J_i a_i^2 + \sum W_H' \theta_1^{0.8} + 2.356 \times 10^4} \times \frac{i \cdot P_s \cdot \alpha \cdot a_p^2}{N} \quad (\text{rad}) \quad (27)$$

또는

$$\theta = \frac{\pi Q_i \sum a_i}{2\pi\varepsilon\omega^2 \sum J_i a_i^2 + \sum W_H' + 2.356 \times 10^4} \times \frac{i \cdot P_s \cdot \alpha \cdot a_p^2}{N} \quad (\text{rad}) \quad (28)$$

本 論文에서는 (28)式을 利用하여 計算하였다.

5.2 振動附加應力 計算

軸系의 質量間의 相對的 비틀림角을 θ' rad, 軸의 비틀림剛性을 K_i (kg·cm/rad)라 하면 軸의 抵抗 모멘트 즉, 비틀림모멘트 M_i 는

$$M_i = \theta' k_i = J \omega^2 \theta' \quad (\text{kg}\cdot\text{cm}) \quad (29)$$

따라서 實際軸의 極斷面係數를 Z_P 라 하면 비틀림應力 τ 는

$$\tau = \frac{M_i}{Z_P} = \frac{k_i \cdot \theta'}{Z_P} = \frac{J \omega^2 \theta'}{Z_P} \quad (\text{kg}/\text{cm}^2) \quad (30)$$

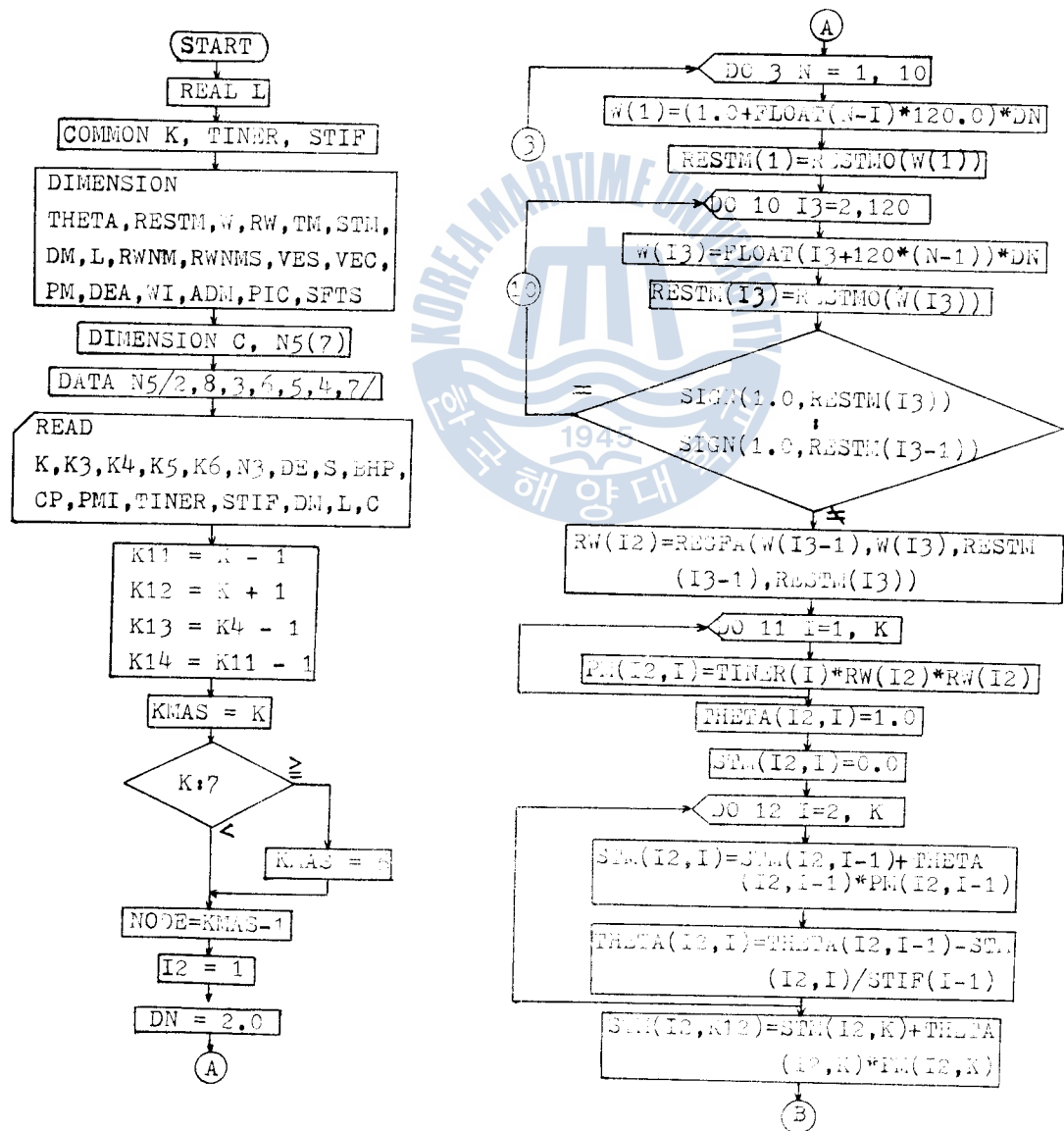
逐次近似法에 의한 船用마이크로機關軸系 비틀림振動計算의 電算프로그램 開發에 關한 研究

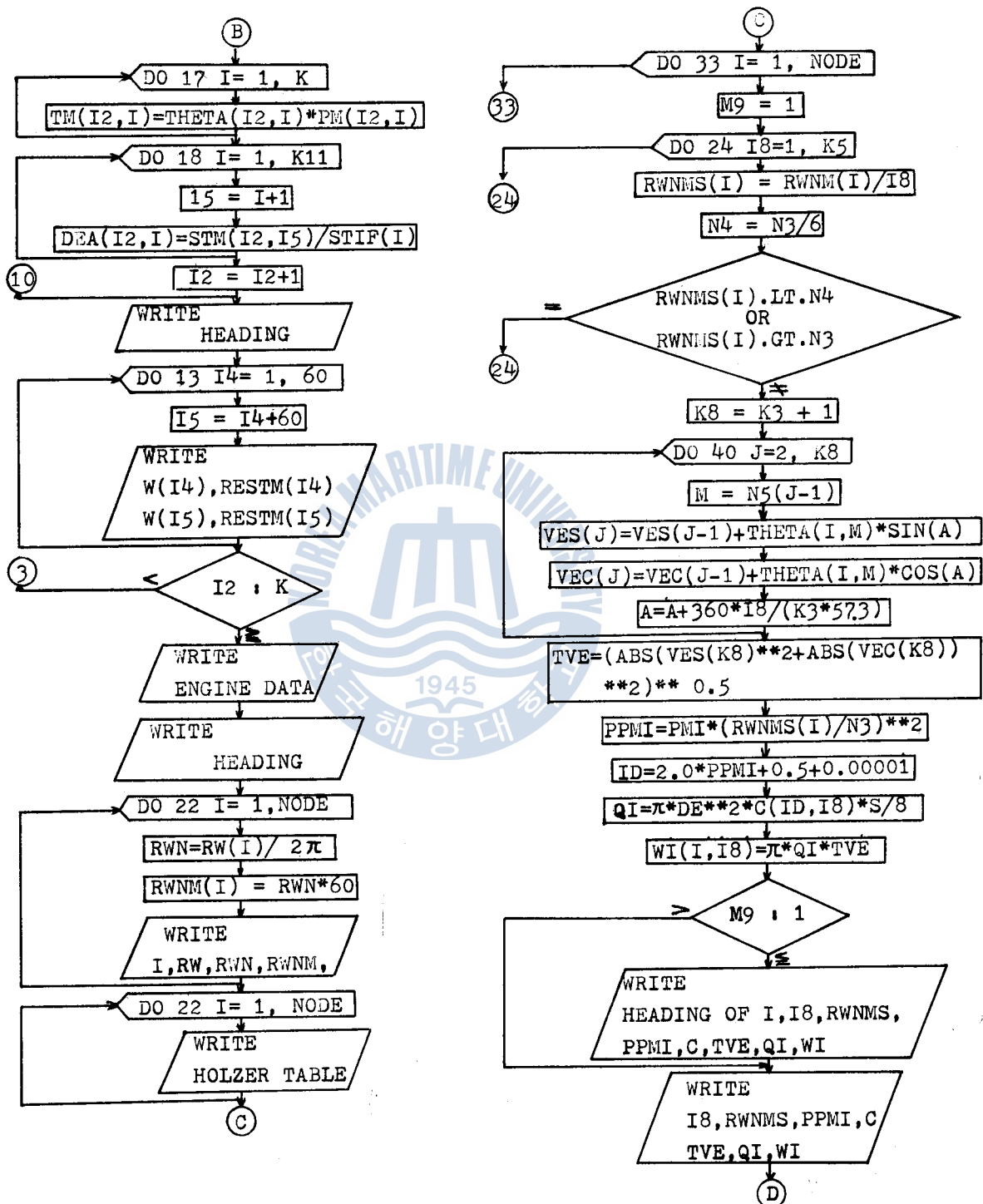
전비틀림 모멘트 $\sum M_i$ 는 $\sum J_i \omega^2 \theta'$ 로 되고 $\sum J_i \omega^2 \theta'$ 는 軸端에서의 振幅이 1 rad 일 때 Holzer表에서 全振動 토오크이므로 軸端에서의 振幅이 θ rad 일 때의 附加應力은

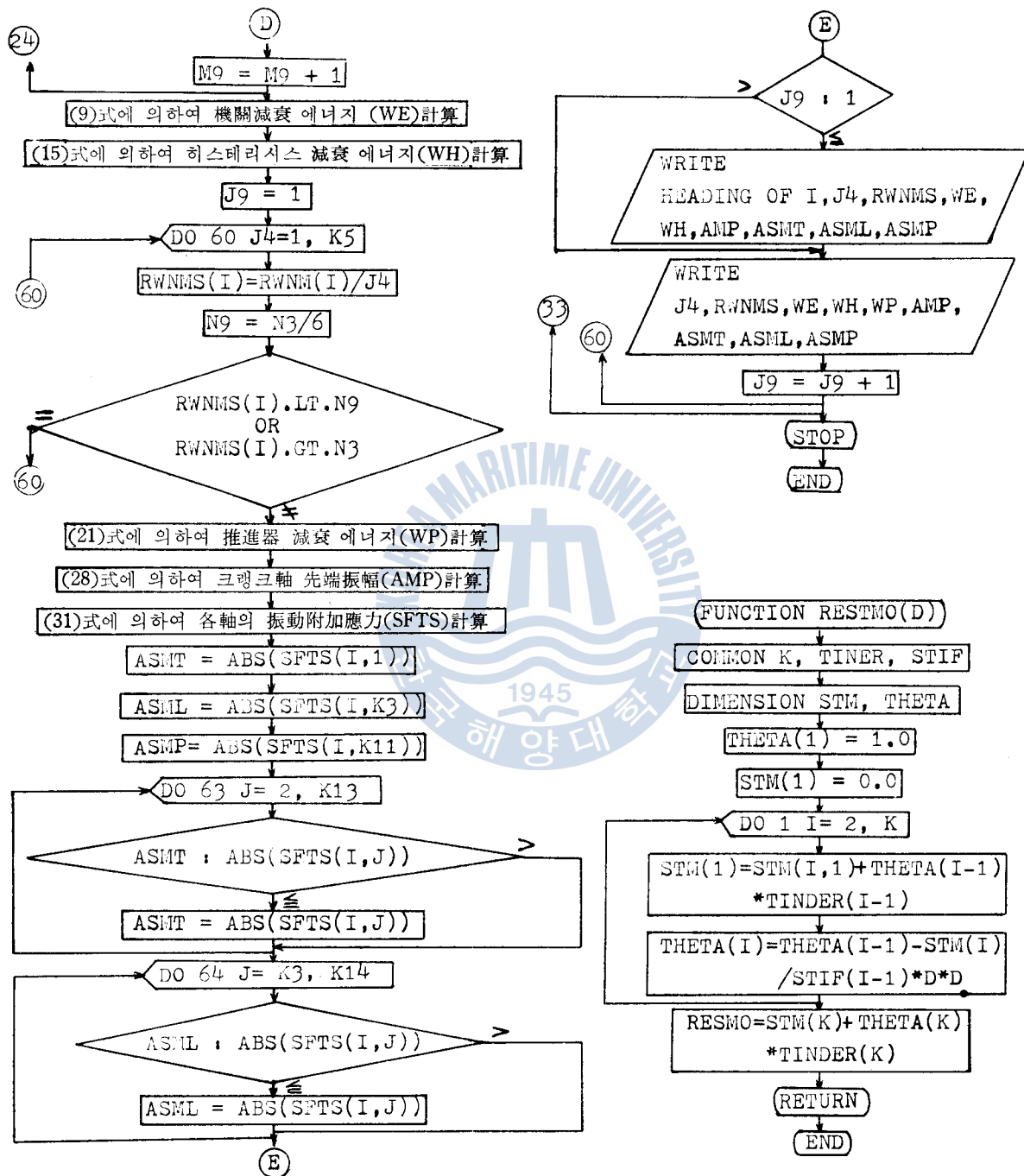
$$\tau = \frac{\sum J_i \omega^2 a_i}{Z_p} \theta \quad (\text{kg/cm}) \quad (31)$$

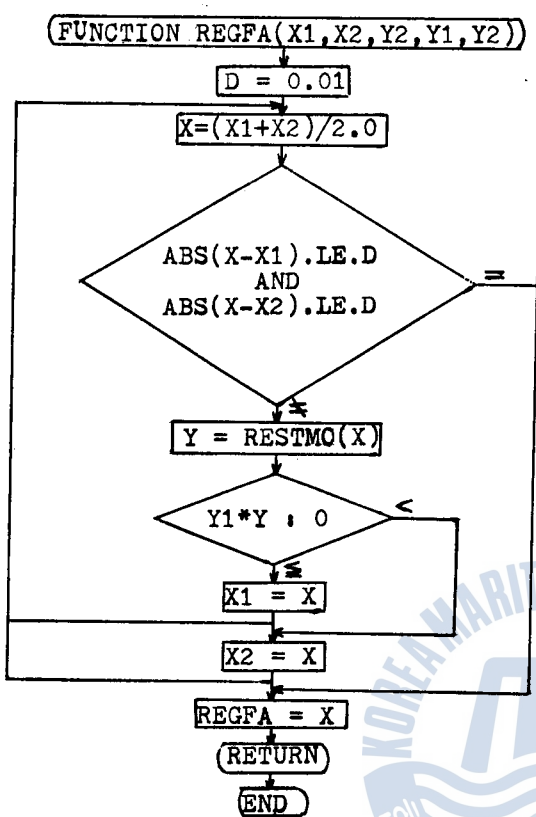
로 된다. 最大負荷應力이 發生되는 곳은 節点을 包含하는 質點間의 軸이며 主機關推進軸系에서一般的으로 一節의 節点은 플라이휠과 推進器軸間에 있으며 二節의 節point은 실린더群 中央과 플라이휠間 및 推進器軸에 있게 된다.

6. 비틀림振動 電算프로그램의 FLOW CHART









Flow Chart의 說明

<MAIN PROGRAM>

(1) 變數名 說明

K : 等價質量의 數

TINER : 各 質點의 慣性모멘트

STIF : 各 質點間軸의 스프링常數

THETA : 各 節, 各 質點間의 振動振幅

RESTM : 角振動數 ω 에 대한 Residual moment

W : 角振動數

RW : 各 節의 固有角振動數(rad/sec)

TM : 各 節 Holzer table의 $J\omega^2\theta$

STM : 各 節 Holzer table의 $\sum J\omega^2\theta$

DM : 各 質點間軸의 實際直徑

L : 各 質點間軸의 實際軸長

RWNM : 各 節의 固有振動數(vpm)

RWNMS : 各 次數에 對한 危險回轉數

VES, VEC : 振動振幅 벡터의 sin, cos成分

PM : 各 節 Holzer table의 $J\omega^2$

DEA : 各 節 Holzer table에 있어서의 各 質點間의 振幅差

WI : 各 節, 各 次數의 起振에너지

ADM : Hysteresis 減衰에너지 計算을 위한 實際軸徑($d=D\sqrt{I/L}$)

PIC : Hysteresis 減衰에너지 計算을 위한 極斷面係數

SFTS : 各 節, 各 次數에 대한 軸系의 振動附加應力

C : Harmonic 係數

N5(7) : 着火順序

K3 : 실린더 數

K4 : 실린더 數十機關附加質量의 數

K5 : Harmonic係數의 次數

K6 : 各 危險回轉數에 對한 平均有効壓力의 整數化 數

N3 : 機關의 連續最大轉回數

DE : 실린더 直徑

S : 피스톤 行程

BHP : 機關의 連續最大出力

CP : 機關의 最高壓力

PMI : 機關의 平均有効壓力

I2 : 振動의 節數

DN : 角振動數의 增分

ASMT : 그랑크軸의 振動附加應力

ASML : 中間軸의 振動附加應力

ASMP : 推進器軸의 振動附加應力

(2) 計算의 順序

1) COMMON文과 DIMENSION文을 作成한다.

DIMENSION文 中에 있는 N5(7)는 起振에너지 計算에서 振動振幅 Vector合을 着火順序에 따라 計算하기 위한 DIMENSION文으로 N5(7)의 括號內에는 실린더數를 넣고 DATA에 着火順序를 記入한다. 附加質量이 있는 境遇 着火順序는 變更 記入된다.

2) 角振動數를 2.0부터 2.0씩 增加해가며 FUNTION RESTMO(D)에서 Residual moment를

計算한다.

各 角振動數에 該當하는 Residual moment의 符號가 變할때 FUNTION REGFA(X1, X2, Y1, Y2)로서 Residual moment가 0이 되는 角振動數를 求한다.

첫번째로 Residual moment가 0이 되는 角振動數를 一節固有角振動數라하고 振動數가 增加해 갈에 따라 二節固有角振動數, 三節固有角振動數……를 計算할 수 있다.

3) 各 節, 各 次數에 對한 危險回轉數가 機關의 使用回轉數내에 있는가 判斷하여 使用回轉數내에 있는 各 節, 各 次數의 危險回轉數에 該當하는 振動比振幅을 着火順序에 따라 各各 sin項과 cos項으로 分解하여 合成後 Vector的으로 合成하고 그 危險回轉數에 相當하는 平均有効壓力을 計算하여 그 平均有効壓力에 對한 Harmonic 係數를 찾아내 起振에너지率를 計算한다.

4) 機關減衰에너지, 헉스네리시스減衰에너지, 推進器減衰에너지率를 計算하여 크랭크軸先端의 振動振幅을 求하고 크랭크軸, 中間軸, 推進器軸의 振動附加應力を 計算한다.

<FUNCTION RESTMO(D)>

MAIN PROGRAM에서 주어진 角振動數 W(I3)는 FUNCTION RESTMO(D)를 使用하여 Residual moment를 計算한다.

<FUNTION REGFA(X1, X2, Y1, Y2)>

MAIN PROGRAM에서 주어진 角振動數 W(I3-1)과 W(I3)를 FUNCTION RESTMO(D)에 使用하여 計算된 Residual moment의 符號가 變했을 때 FUNTION REGFA(X1, X2, Y1, Y2)를 使用하게 된다.

W(I3-1)을 X1, W(I3)를 X2, RESTMO(W(I3-1))를 Y1, RESTMO(W(I3))를 Y2라 하고 X1과 X2의 平均値를 X라 한다. RESTMO(X)를 Y라 하고 Y1×Y의 값이 (+)일때는 X1=X가 되고 (-)일 때는 X2=X가 되어 (X-X1)과 (X-X2)의 範圍가 0.01이 된 때까지 繼續한다.

(X-X1)과 (X-X2)의 範圍가 0.01이 되면 REGFA=X로 되고 이 X가 하나의 節을 形成하는 固有角振動數로 된다.

7. 實際軸의 計算 및 實測值와의 比較

以上由 電算 프로그램을 6個의 實際軸에 適用하여 비틀림振動 附加應力 計算을 行하고 實測值 및 機關製作會社 計算과 比較 檢討하였다.

7.1 機關要目

(1) 主機關

項目	船名	A 船	B 船	C 船	D 船	E 船	F 船
실린더 數	7	6	6	6	6	6	6
실린더直徑(mm)	680	760	680	450	680	760	
비스트ون行程(mm)	1250	1550	1250	750	1250	1550	
連續最大回轉數(rpm)	150	122	150	230	137	122	
連續最大出力(bhp)	11350	12000	11400	3800	9000	14400	
平均有効壓力(kg/cm ²)	12.4	11.66	14.0	10.39	12.06	14.0	
着火順序	1-7-2 -5-4-3-6	1-6-2-4-3-5	1-6-2-4-3-5	6-1-5-3-4-2	1-6-2-4-3-5	1-6-2-4-3-5	

(2) 크랭크軸

(단위 : mm)

項目	A 船	B 船	C 船	D 船	E 船	F 船
크랭크드로우의 길이	1300	1450	1300	800	1300	1450
크랭크자아연 直徑	540	600	540	340	540	600
크랭크핀 直徑	540	600	540	340	540	600

(3) 中間軸

(단위 : mm)

項目	A 船	B 船	C 船	D 船	E 船	F 船
軸長×個數	5860×1	5180×1	6540×1	7250×4	5500×1	3750×2
軸 徑	420	470	370	250	440	480

(4) 推進器軸

(단위 : mm)

項目	A 船	B 船	C 船	D 船	E 船	F 船
軸長×軸徑	5855×500	5285×515	7240×456	4820×315	5900×470	6730×600

(5) 推進器

名 称	A 船	B 船	C 船	D 船	E 船	F 船
直 徑 (mm)	5150	5900	4850	3150	5200	6000
回 転 方 向	Right hand	Right-hand	Right-hand	Right-hand	Right-hand	Right-hand
回 転 方 向	Right hand	Right-hand	Right-hand	Right-hand	Right-hand	Right-hand
直 徑 (mm)	3510	3900		2320	3685	4610
直 徑 (mm)	0.6816	0.7087		0.7365	0.7087	0.7683
全 圓 面 積 (m^2)	20.8308	27.3200		7.7931	21.2372	28.2744
展 開 面 積 (m^2)	13.7483	15.4080		5.0655	11.6805	16.2861
展 開 面 積 比	0.6599	0.5639		0.6499	0.5500	0.5670
投 影 面 積 (m^2)	12.5235	14.0200		4.5504	10.5673	
投 影 面 積 比	0.6012	0.5130		0.5839	0.4988	
最 大 翼 幅 比	0.1748	0.1745		0.1778	0.1769	0.1847
最 大 翼 厚 比	0.3814	0.3169		0.3769	0.3099	0.3270
最 大 翼 厚 比	0.0690	0.0533		0.0571	0.0615	0.0517
傾 斜 比	10°01'	17°01'		9°54'	10°02'	
날 개 数	4	4	4	4	4	4
材 质	Mn-Bronze	Mn-Bronze	Mn-Bronze	Mn-Bronze	Mn-Bronze	Ni-Al-Bronze
回 転 方 向	Right hand	Right-hand	Right-hand	Right-hand	Right-hand	Right-hand
推 器 器 무게 (kg)	14710	18966.4		3100	12850	16593
보 네 트 무게 (kg)	250	300		82	319	125
空氣中의 推進器慣性 모멘트 ($kg \cdot cm \cdot sec^2$)	196040		140226	15700	152800	250714

逐次近似法에 의한 船用나이赘機關軸系 비틀림振動計算의 電算프로그램 開發에 關한 研究

7.2 推進軸系에 對한 計算結果例

A船에 對한 비틀림振動 計算結果는 다음과 같다.

CALCULATION FOR TORSIONAL VIBRATION

MAIN ENGINE PARTICULARS TYPE

SULZER 7 RND 68
NO.1 MOMENT OF INERTIA IS COUNTER AND SHAFT
2 STROKE CYCLE, SINGLE ACTING CROSSHEAD TYPE
REVERSIBLE DIESEL ENGINE WITH TURBOCHARGER

NUMBER OF CYLINDER	7
CYLINDER DIAMETER	68.000 CM
STROKE	125.000 CM
MAX. CONTINUOUS REVOLUTIONS	150 R.P.M.
MAX. CONTINUOUS OUT PUT	11550.000 B.H.P.
MAX. COMBUSTION PRESSURE	87.000 KG/CM ²
MEAN EFFECTIVE PRESSURE	12.100 KG/CM ²
FIRING ORDER (AHEAD)	1-7-2-5-4-3-6

NO	MOMENT OF INERTIA (KG-CM-SEC ²)	STIFFNESS (KG-CM/RAD)	DIAMETER OF SHAFT (CM)	LENGTH OF SHAFT (CM)
1	0.7010000E 03	0.8058016E 10	0.5400000E 02	0.1025000E 03
2	0.2567500E 05	0.6060605E 10	0.5400000E 02	0.1300000E 03
3	0.2567500E 05	0.6060605E 10	0.5400000E 02	0.1300000E 03
4	0.2651300E 05	0.4029009E 10	0.5400000E 02	0.2050000E 03
5	0.2651300E 05	0.6060605E 10	0.5400000E 02	0.1300000E 03
6	0.2567500E 05	0.6060605E 10	0.5400000E 02	0.1300000E 03
7	0.2567500E 05	0.6060605E 10	0.5400000E 02	0.1300000E 03
8	0.2651300E 05	0.3573981E 10	0.5400000E 02	0.2440000E 03
9	0.2194700E 05	0.1412429E 11	0.5400000E 02	0.6000000E 02
10	0.1332000E 04	0.4497615E 09	0.4200000E 02	0.5860000E 03
11	0.2866000E 04	0.1008980E 10	0.5000000E 02	0.5855000E 03
12	0.2465840E 06			

NATURAL FREQUENCY

NATURAL FREQUENCY 1 NODE= 48.485-1 7.72HZ 462.92MIN-1

NATURAL FREQUENCY 2 NODE= 186.735-1 29.72HZ 1783.10MIN-1

NATURAL FREQUENCY 3 NODE= 351.795-1 55.99HZ 3359.33MIN-1

NATURAL FREQUENCY 4 NODE= 501.265-1 79.78HZ 4786.64MIN-1

NATURAL FREQUENCY 5 NODE= 607.025-1 96.61HZ 5796.63MIN-1

HOLZER TABLE FOR TORSIONAL VIBRATION

1 NODE TORSIONAL VIBRATION P = 48.47656 (RAD/SEC)

NO	MASS (KG-CM-SEC ²)	AMPLITUDE (RAD.)	TORQUE (KG-CM)	TOTAL TORQUE (KG-CM)	STIFFNESS (KG-CM/RAD.)	DELTA AMPLITUDE (RAD.)
1	0.7010000E 03	0.1000000E 01	0.1647333E 07	0.1647333E 07	0.8058016E 10	0.2044341E-03
2	0.2567500E 05	0.9997956E 00	0.6032328E 08	0.6197061E 08	0.6060605E 10	0.1022515E-01
3	0.2567500E 05	0.9825704E 00	0.5970634E 08	0.1216769E 09	0.6060605E 10	0.2007670E-01
4	0.2651300E 05	0.9694937E 00	0.6040422E 08	0.1820812E 09	0.4029009E 10	0.4519254E-01
5	0.2651300E 05	0.9243011E 00	0.5758851E 08	0.2396697E 09	0.6060605E 10	0.3954550E-01
6	0.2567500E 05	0.8847556E 00	0.5338226E 08	0.2930519E 09	0.6060605E 10	0.4835357E-01
7	0.2567500E 05	0.8364019E 00	0.5046482E 08	0.3435167E 09	0.6060605E 10	0.5668025E-01
8	0.2651300E 05	0.7797217E 00	0.4858050E 08	0.3920970E 09	0.3573981E 10	0.1097087E 00
9	0.2194700E 05	0.6700130E 00	0.3455586E 08	0.4266527E 09	0.142429E 11	0.3020702E-01
10	0.1332000E 04	0.6398059E 00	0.2002700E 07	0.4286554E 09	0.4497615E 09	0.9530725E 00
11	0.2866600E 04	-0.3132666E 00	-0.2109860E 07	0.4265454E 09	0.1008980E 10	0.4227491E 00
12	0.2465840E 06	-0.7360157E 00	-0.4264963E 09	0.4915200E 05		

HOLZER TABLE FOR TORSIONAL VIBRATION

2 NODE TORSIONAL VIBRATION P = 186.72656 (RAD/SEC)

NO	MASS (KG-CM-SEC ²)	AMPLITUDE (RAD.)	TORQUE (KG-CM)	TOTAL TORQUE (KG-CM)	STIFFNESS (KG-CM/RAD.)	DELTA AMPLITUDE (RAD.)
1	0.7010000E 03	0.1000000E 01	0.2444162E 08	0.2444162E 08	0.8058016E 10	0.3033205E-02
2	0.2567500E 05	0.996968E 00	0.8924897E 09	0.9169313E 09	0.6060605E 10	0.1512936E 00
3	0.2567500E 05	0.8456732E 00	0.7570509E 09	0.1673982E 10	0.6060605E 10	0.2762071E 00
4	0.2651300E 05	0.5694661E 00	0.5264276E 09	0.2200410E 10	0.4029009E 10	0.5461417E 00
5	0.2651300E 05	0.2332443E-01	0.2156165E 08	0.2221971E 10	0.6060605E 10	0.3666253E 00
6	0.2567500E 05	-0.3433009E 00	-0.3073247E 09	0.1914647E 10	0.6060605E 10	0.3159167E 00
7	0.2567500E 05	-0.6592176E 00	-0.5901348E 09	0.1324512E 10	0.6060605E 10	0.2185445E 00
8	0.2651300E 05	-0.8777621E 00	-0.8114237E 09	0.5130883E 09	0.3573981E 10	0.1435621E 00
9	0.2194700E 05	-0.1021324E 01	-0.7815393E 09	-0.2684511E 09	0.142429E 11	-0.1900635E-01
10	0.1932000E 04	-0.1002317E 01	-0.4655019E 08	-0.3150011E 09	0.497615E 09	-0.7003735E 00
11	0.2866600E 04	-0.3019439E 00	-0.3017272E 08	-0.3451738E 09	0.1008980E 10	-0.3421017E 00
12	0.2465840E 06	0.4015779E-01	0.3452609E 09	0.8652800E 05		

1 NODE EXCITING ENERGY FOR TORSIONAL VIBRATION

ORDER	CRIT. SPEED (R.P.M.)	IND. PRES. (KG./CM ²)	HAR. COEF. (KG./CM ²)	VECTOR SUM (RAD.)	TORQUE HARMO. (KG-CM)	EXCITING ENERGY (KG-CM/CYCLE)
4	115.72900	7.20256	2.45000	0.37110	0.5561010E 06	0.6483241E 06
5	92.58319	4.60964	1.25000	0.03321	0.2837250E 06	0.2960011E 05
6	77.15266	3.20114	0.78000	0.07182	0.1770442E 06	0.3994719E 05
7	66.13086	2.35186	0.43000	6.38403	0.9760137E 05	0.1957493E 07
8	57.86450	1.80064	0.36500	0.07193	0.8284762E 05	0.1872252E 05
9	51.43510	1.42273	0.25000	0.03317	0.5674501E 05	0.5913746E 04
10	46.29160	1.15241	0.16000	0.37108	0.3631679E 05	0.4233736E 05
11	42.08327	0.95240	0.12500	0.37110	0.2837250E 05	0.3307765E 05
12	38.57632	0.80028	0.09000	0.03321	0.2048280E 05	0.2131496E 04
13	35.60892	0.68190	0.06000	0.07185	0.1361880E 05	0.3074061E 04
14	33.06543	0.58796	0.05000	6.38403	0.1134899E 05	0.2276154E 06
15	30.86105	0.51218	0.04500	0.07192	0.1021409E 05	0.2307913E 04
16	28.93225	0.45016	0.02500	0.03317	0.5674496E 04	0.5912773E 03
17	27.23035	0.39876	0.02000	0.37107	0.4539598E 04	0.5292016E 04
18	25.71754	0.35568	0.01600	0.37112	0.3631680E 04	0.4234156E 04

1 NODE DAMPING ENERGY AND ADDITIONAL STRESS FOR TORSIONAL VIBRATION

ORDER	CRITICAL ENGINE SPEED (R.P.M.)	DAMPING ENERGY (KG-CM/CYCLE)	HYSTEROESIS DAMPING ENERGY (KG-CM/CYCLE)	PROPELLER ACT. AMP. DAMPING ENERGY (KG-CM/CYCLE)	STRESS AT CRANK SHAFT (KG/CM ²)	STRESS AT LINE SHAFT (KG/CM ²)	STRESS AT PROP. SHAFT (KG/CM ²)
4	115.729	0.2941760E 08	0.5177696E 07	0.7A38733E 08	0.00574	63.75537	169.08720
5	92.583	0.2941760E 08	0.5177696E 07	0.6270987E 08	0.00030	3.37982	8.96370
6	77.153	0.2941760E 08	0.5177696E 07	0.5225827E 08	0.00046	5.11017	13.55280
7	66.131	0.2941760E 08	0.5177696E 07	0.4479277E 08	0.02466	273.95630	726.56641
8	57.865	0.2941760E 08	0.5177696E 07	0.3919370E 08	0.00025	2.81909	7.47658
9	51.435	0.2941760E 08	0.5177696E 07	0.3483880E 08	0.00009	0.94629	2.50969
10	46.292	0.2941760E 08	0.5177696E 07	0.3135493E 08	0.00064	7.13254	18.91637
11	42.083	0.2941760E 08	0.5177696E 07	0.2850448E 08	0.00052	5.82429	15.44675
12	38.576	0.2941760E 08	0.5177696E 07	0.2612909E 08	0.00004	0.38999	1.03431
13	35.609	0.2941760E 08	0.5177696E 07	0.2411918E 08	0.00005	0.58171	1.54276
14	33.065	0.2941760E 08	0.5177696E 07	0.2239638E 08	0.00399	44.37381	117.68480
15	30.861	0.2941760E 08	0.5177696E 07	0.2090328E 08	0.00004	0.46203	69.40895
16	28.932	0.2941760E 08	0.5177696E 07	0.1959685E 08	0.00001	0.12122	0.32150
17	27.230	0.2941760E 08	0.5177696E 07	0.1844408E 08	0.00010	1.10856	0.18962
18	25.718	0.2941760E 08	0.5177696E 07	0.1741938E 08	0.00008	0.90444	1.73400

2 NODE EXCITING ENERGY FOR TORSIONAL VIBRATION

ORDER	CRIT. SPEED (R.P.M.)	IND. PRES. (KG./CM ²)	HAR. COEF. (KG./CM ²)	VECTOR SUM (RAD.)	TORQUE HARMO. (KG-CM)	EXCITING ENERGY (KG-CM/CYCLE)
12	148.59192	11.87389	0.36000	0.14325	0.8171275E 05	0.3677343E 05
13	137.16176	10.11740	0.21500	0.06186	0.4880070E 05	0.9484320E 04
14	127.36450	8.72368	0.13000	0.55515	0.2950740E 05	0.5146249E 05
15	118.87354	7.59929	0.09000	0.06182	0.2042820E 05	0.3967606E 04
16	111.44394	6.67906	0.04100	0.14316	0.9306172E 04	0.4185359E 04
17	104.88841	5.91640	0.03500	3.40155	0.7944297E 04	0.8489494E 05
18	99.06128	5.27729	0.03000	3.40152	0.6809398E 04	0.7276650E 05

2 NODE DAMPING ENERGY AND ADDITIONAL STRESS FOR TORSIONAL VIBRATION

ORDER	CRITICAL ENGINE SPEED (R.P.M.)	HYSTERESIS DAMPING ENERGY (KG-CM/CYCLE)	PROPELLER DAMPING ENERGY (KG-CM/CYCLE)	ACT. AMP. OF SHAFT (RAD.)	STRESS AT CRANK SHAFT (KG/CM ²)	STRESS AT LINE SHAFT PROP. SHAFT (KG/CM ²)	STRESS AT LINE SHAFT PROP. SHAFT (KG/CM ²)
12	148.592	0.2500669E 09	0.3131586E 08	0.1154088E 07	0.00013	9.35376	2.81834
13	137.162	0.2500669E 09	0.3131586E 08	0.1065312E 07	0.00003	2.41321	0.72711
14	127.365	0.2500669E 09	0.3131586E 08	0.9892190E 06	0.00018	13.09775	3.94642
15	118.874	0.2500669E 09	0.3131586E 08	0.9232707E 06	0.00001	1.01003	0.30433
16	111.444	0.2500669E 09	0.3131586E 08	0.8655661E 06	0.00001	1.06568	0.32110
17	104.888	0.2500669E 09	0.3131586E 08	0.8146510E 06	0.00030	21.62001	6.51423
18	99.061	0.2500669E 09	0.3131586E 08	0.7693922E 06	0.00026	18.53426	5.58448

7·3 計算値와 實測値와의 比較

(1) A船 推進軸系의 비동형振動附加應力

回轉數 및 振幅	危險回轉數(rpm)		크랭크軸 先端振幅(rad)	
節數／次數	I / 7	—	I / 7	—
機 關 製 作 者	66	—	0.02376	—
實 測 值	66	—	0.02477	—
本 論 文	66	—	0.02466	—

振動附加應力	크랭크軸(kg/cm ²)	中間軸(kg/cm ²)	推進器軸(kg/cm ²)
節數／次數	I / 7	I / 7	I / 7
機 關 製 作 者	264	700	413
實 測 值	—	763	—
本 論 文	274	726	428

※ 使用回轉數 範圍內에 二節振動 危險回轉數 없음

(2) B船 推進軸系의 비동형振動附加應力

回轉數 및 振幅	危險回轉數(rpm)		크랭크軸 先端振幅(rad)	
節數／次數	I / 6	II / 15	I / 6	II / 15
機 關 製 作 者	72	107	0.02418	0.00040
實 測 值	70	105	0.02703	0.00193
本 論 文	73	107	0.02764	0.00116

振動附加應力	크랭크軸(kg/cm ²)		中間軸(kg/cm ²)		推進器軸(kg/cm ²)	
節數／次數	I / 6	II / 15	I / 6	II / 15	I / 6	II / 15
機 關 製 作 者	297	33	831	15	630	9
實 測 值	—	156	930	—	—	42
本 論 文	336	94	950	44	721	25

※ 二節振動 實測值 없음

(3) C船 推進軸系의 비특정 振動附加應力

回轉數 및 振幅	危險回轉數(rpm)		크랭크軸 先端振幅(rad)	
節數／次數	I / 6	II / 15	I / 6	II / 15
機 關 製 作 者	68	132	0.01917	0.00038
實 測 值	67	—	0.02419	—
本 論 文	68	132	0.02403	0.00146

振動附加應力	크랭크軸(kg/cm ²)		中間軸(kg/cm ²)		推進器軸(kg/cm ²)	
節數／次數	I / 6	II / 15	I / 6	II / 15	I / 6	II / 15
機 關 製 作 者	139	13	594	6	315	2
實 測 值	—	—	750	—	—	—
本 論 文	175	118	745	49	395	16

※ 二節振動 實測值 缺

(4) D船 推進軸系의 비특정 振動附加應力

回轉數 및 振幅	危險回轉數(rpm)		크랭크軸 先端振幅(rad)	
節數／次數	I / 6	II / 12	I / 6	II / 12
機 關 製 作 者	53	204	0.11245	0.000497
實 測 值	55	205	0.11712	0.00225
本 論 文	55	204	0.12186	0.00164

振動附加應力	크랭크軸(kg/cm ²)		中間軸(kg/cm ²)		推進器軸(kg/cm ²)	
節數／次數	I / 6	II / 12	I / 6	II / 12	I / 6	II / 12
機 關 製 作 者	264	28	665	43	332	19
實 測 值	—	128	727	—	—	91
本 論 文	185	93	757	142	306	66

逐次近似法에 의한 船用 디이젤 기관 축계 비共振振動 계산 프로그램 개발과 관리 연구

(5) E船 推進軸系의 비共振振動附加應力

回轉數 및 振幅		危險回轉數(rpm)		교량Ⅲ軸 先端振幅(rad)	
節數/次數		I/6		I/6	
機 關 製 作 者		89	—	0.02368	—
實 測 值		90	—	0.02477	—
本 論 文		89	—	0.02639	—

振動附加應力		교량Ⅲ軸(kg/cm ²)	中間軸(kg/cm ²)	推進器軸(kg/cm ²)
節數/次數		I/6	I/6	I/6
機 關 製 作 者		341	691	567
實 測 值		—	722	—
本 論 文		324	770	632

※ 使用回轉數 範圍내에 二節振動 危險回轉數 없음

(6) F船 推進軸系의 비共振振動附加應力

回轉數 및 振幅		危險回轉數(rpm)		교량Ⅲ軸 先端振幅(rad)	
節數/次數		I/6	II/15	I/6	II/15
機 關 製 作 者		75	102	0.02005	0.00115
實 測 值		71	108	0.02027	0.00181
本 論 文		75	102	0.01930	0.00145

振動附加應力		교량Ⅲ軸(kg/cm ²)	中間軸(kg/cm ²)	推進器軸(kg/cm ²)	
節數/次數		I/6	II/15	I/6	II/15
機 關 製 作 者		300	90	710	77
實 測 值		—	142	718	—
本 論 文		252	114	683	62

8. 結 論

逐次近似法에 의한 船用 디이젤 기관 推進軸系의 共振점과 振動附加應力を 計算하는 電算프로그램을 개발하고 實際軸에 對한 計算을 行하였으며 그 結果를 實測值와 比較 檢討하여 보았다.

電算프로그램의 開發에 있어서는 特히 減衰力의 計算方法과 共振振幅의 計算方法에 留意하였으며
새로운 理論을 適用하여 지금까지 利用하던 方法보다 좀 더 좋은 結果를 얻도록 努力하였다.

實際軸에 대한 計算值와 實測值와의 比較 檢討 結果에 依하면 다음과 같은 結論을 얻을 수 있다.

(1) 本 論文에서 開發, 利用한 電算프로그램의 計算結果와 實測된 共振振動數, 또는 機關製作會社가 提示하는 結果와 매우 좋은 一致를 보이고 있어 共振振動數의 推定은 問題点이 전혀 없었다.

(2) 一節振動에 對한 共振振幅은 本 論文에서 開發, 利用한 電算프로그램의 計算結果가 實測值에 對하여 大略 ±10% 内外의 誤差를 가지며 機關製作會社가 提示하는 計算結果보다 大体로 良好한 값을 주고 있다.

(3) 二節振動에 對한 振動振幅의 計算結果는 實測值에 對하여 35% 程度 작은 값을 보이며 滿足할 만한 狀態는 아니다. 그러나 製作會社가 提示하는 結果보다는 良好하며 現在一般的으로 實用化하고 있는 結果와 比較하여 나쁘지 않다.

以上의 結果로 보아 本 論文에서 提示하는 電算프로그램은 그 實用性이 充分하다고 생각된다. 다만 앞으로 二節振動의 計算에 對해서는 起振力과 減衰力에 관한 보다 더 廣範圍한 研究 調査가 要求되어 더 많은 實測值와의 比較 檢討가 要望된다.

參 考 文 獻

- 1) Bauer, "Untersuchungen über die periodischen Schwingungen in der Umdrehungsgeschwindigkeit der Wellen von Schiffsmaschinen" Jahrbuch der Schiffbautechn. Ges., 1900, I. B.
- 2) L. Gümbel, "Über Torsionsschwingungen von Wellen", Schiffbau, 1901/1902, S. 580.
- 3) H. Frahm, "Neuer Untersuchungen über die dynamischen Vorgänge in den Wellenleitungen von Schiffsmaschinen mit besonderer Berücksichtigung der Resonanzschwingungen", VDI, 1902, S. 797, 880.
- 4) H. Holzer "The calculation of torsional vibrations," Berlin, 1922.
- 5) B. C. Carter, "An empirical formula for crankshaft stiffness in torsion", Engineering, 13 July 1928, pp. 36.
- 6) S. Timoshenko, "Vibration problems in engineering", 2nd ed., 4th printing, pp. 271.
- 7) BICERA, "Handbook on torsional vibration", 1958, pp. 54.
- 8) W. Ker Wilson, "Practical solution of torsional vibration problems", Chapman Hall, London, 1942.
- 9) J. Geiger, "Stressing of crankshafts", AZT, 25 Feb. 1937, pp. 93~98.
- 10) Seelmann, Z. Ver. Deutsch. Ing. 2 May 1925, pp. 601.
- 11) W. A. Tuplin, "The torsional rigidity of crankshafts", Engineering, 10 Sept. 1937, pp. 275~277.
- 12) P. M. Heldt, "High speed combustion engines", The Gasoline Motor, 15th ed. 1951, pp. 316, 317.
- 13) P. Jackson, "The vibrations of oil engines", Paper No. S 115 (Read before the Diesel Engine User's Asso.), 26 April 1933, pp. 19, 20.
- 14) C. A. Norman and K. W. Stinson, "The angular distortion of crankshafts", Bull. Eng. Exp. Sta. No. 43, Ohio State Uni., 1928.
- 15) K. Schlaefke, "Zur Bestimmung der Eigenschwingungszahlen von Kurbelwellen", ATZ, 1930, S. 725.

逐次近似法에 의한 船用나이선機關軸系 電子管振動計算의 電算프로그램 開發에 關す 研究

- 16) S. S. Zimanenko, Eng'rs. Dig. Vol. 7, No. 11, November 1946, pp. 337~340.
- 17) H. Constant, "On the stiffness of crankshafts", Rep. Memor. Aero. Res. Comm., London., No. 1201, October 1928.
- 18) 全・津田, “船用往復内燃機關軸系縱ねじり連成 自然振動の 理論的 解析”, 日本船用機關學會誌, Vol. 4, No. 7, p. 401.
- 19) S. Hansen, "Determination de Fréquences propres et Amplitudes des Vibrations de torsion de systemes Pamifies", Premier Congres International des Moteurs a Combusion Interne. Mai., 1951.
- 20) Wydler, "Drehschwingungen in Kolbenmaschinenanlagen und Geretz ihres Ausgleich", J. Springer, Berlin, 1922.
- 21) S. F. Dorey, "Elastic hysteresis in crankshaft steels", IME, Vol. 123, 1932.
- 22) F. M. Lewis, "Torsional vibration in the diesel engine", SNAME, 1925.
- 23) B. J. Lazan, "Damping of materials and members in structural mechanics", Pergamon Press, 1968.
- 24) L. E. Goodman, "Shock & Vibration Handbook", McGraw Hill Co., 2nd. ed., Chap. 36, 1976.
- 25) D. W. Taylor, "The speed and power of ships", 1910(1st. Ed.)
- 26) J. F. Shanon, "Engine damping factors in torsional oscillation and the effect of vibration form", J. Roy. Tech. Coll., Glasgow, Jan. 1933.
- 27) J. P. Den Hartog, "Mechanical vibration", 1934(1st. ed.), McGraw Hill Co.
- 28) S. F. Dorey, "Strength of marine engine shafting", Trans. North East Coast Inst. Eng. and Shipbuilders, Vol. 55, 1939.
- 29) F. P. Porter, "Contribution to evaluation of effects of torsional vibration", War Emergency Board of Soc. Automotive Eng., 1945.

